

Figure 1: Benzekri *et al.*

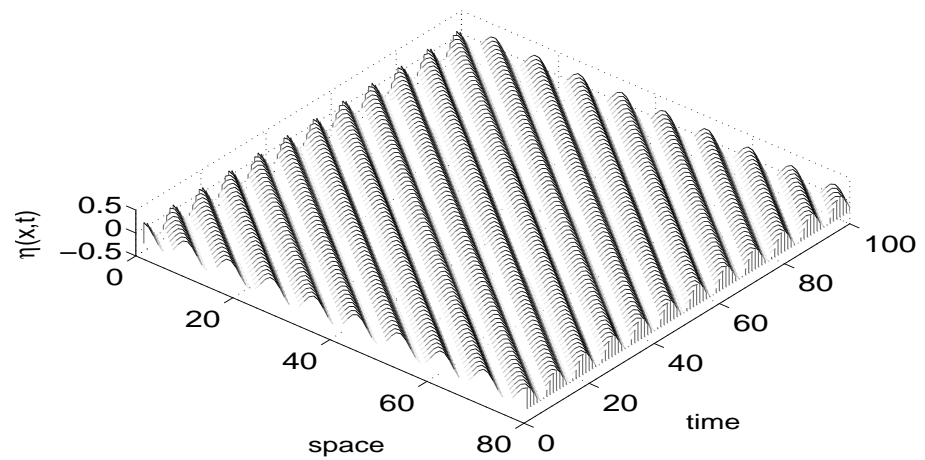


Figure 2: Benzekri *et al.*

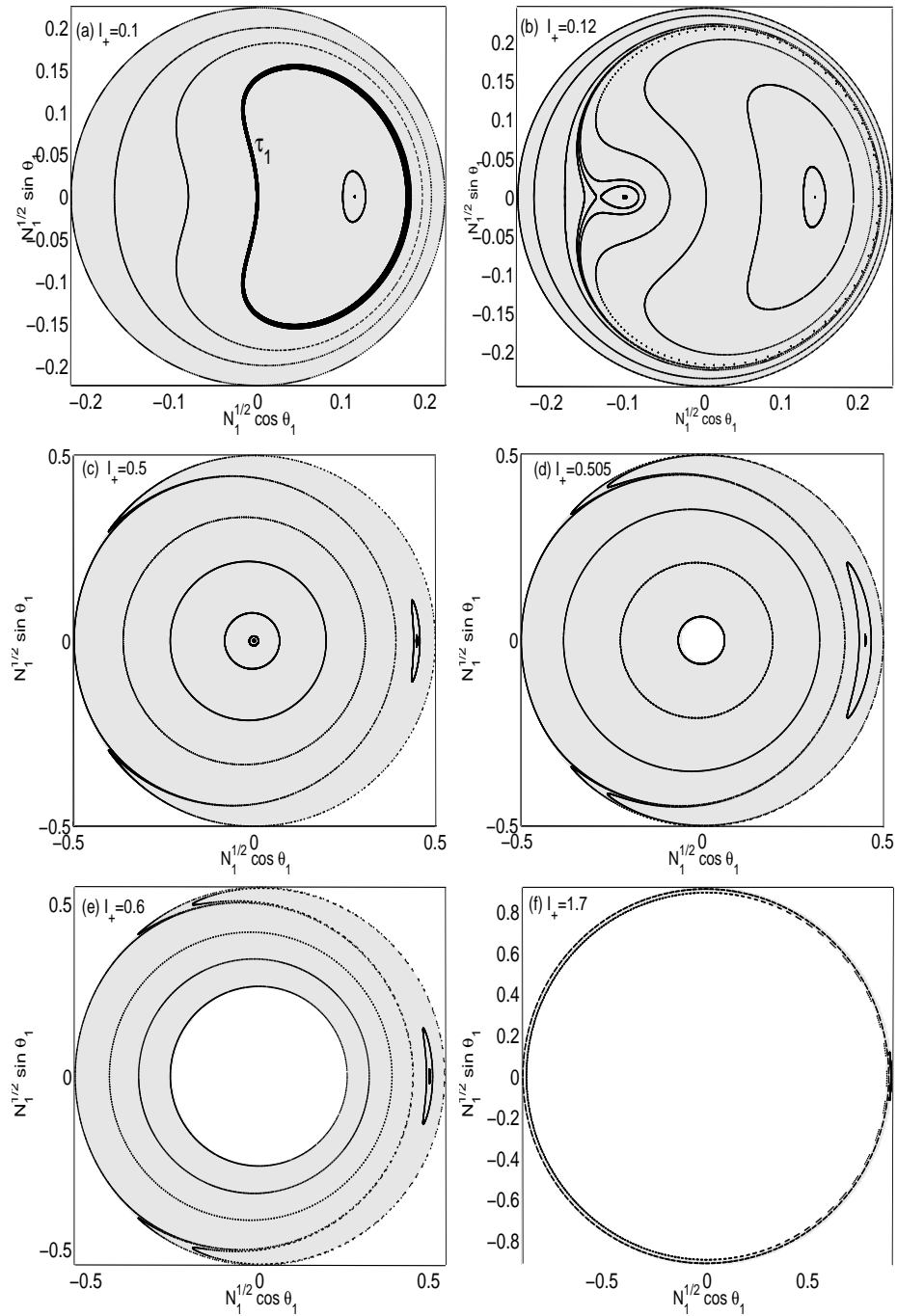


Figure 3: Benzekri *et al.*

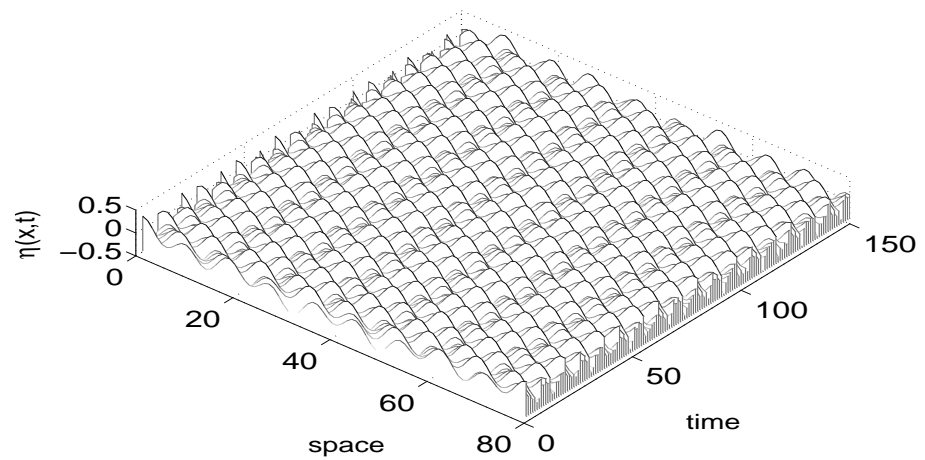


Figure 4: Benzekri *et al.*

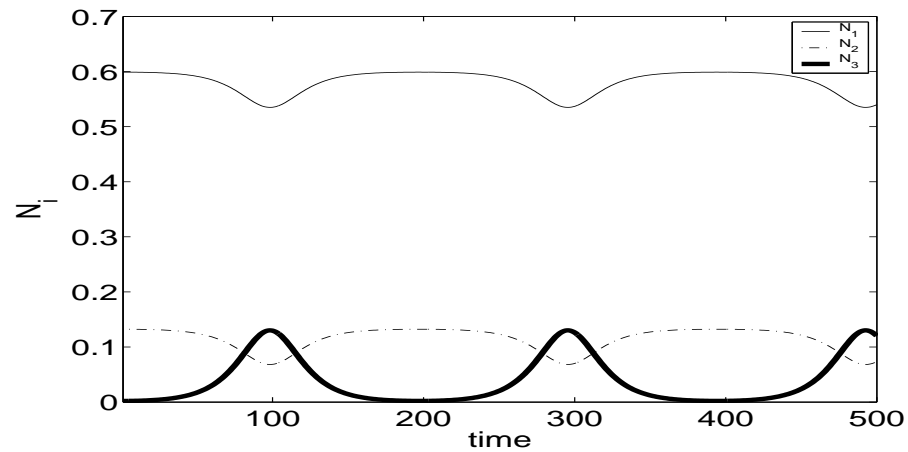


Figure 5: Benzekri *et al.*

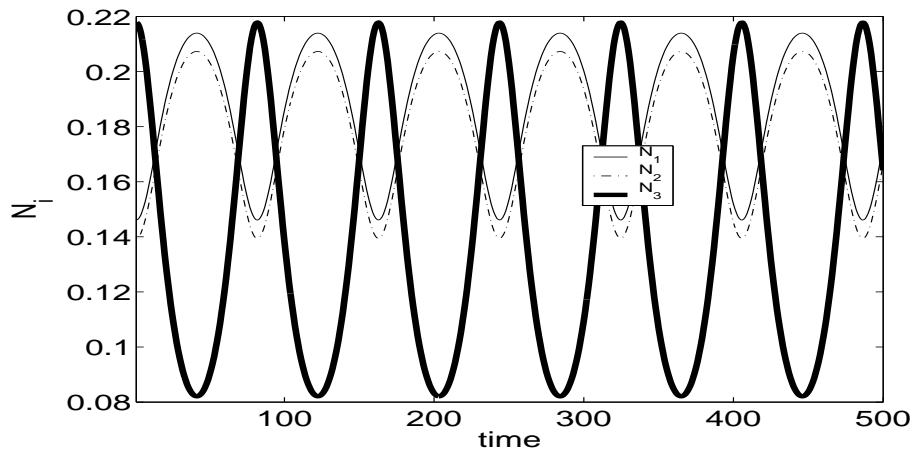


Figure 6: Benzekri *et al.*

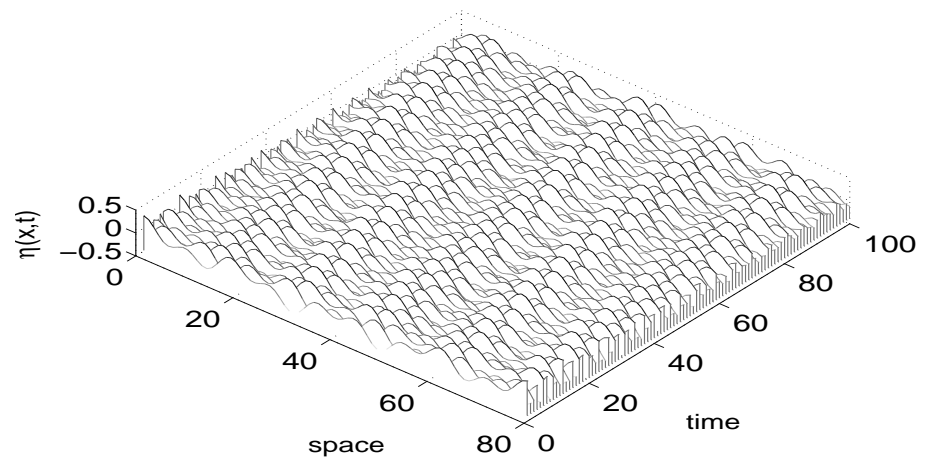


Figure 7: Benzekri *et al.*

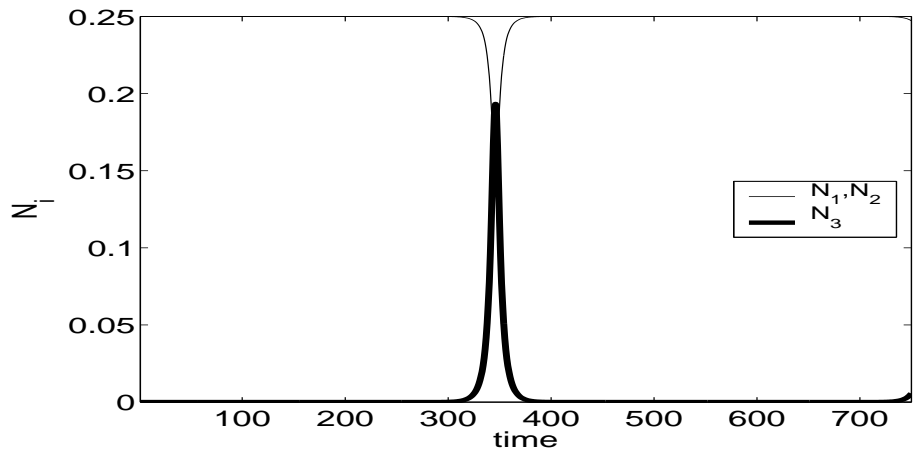


Figure 8: Benzekri *et al.*

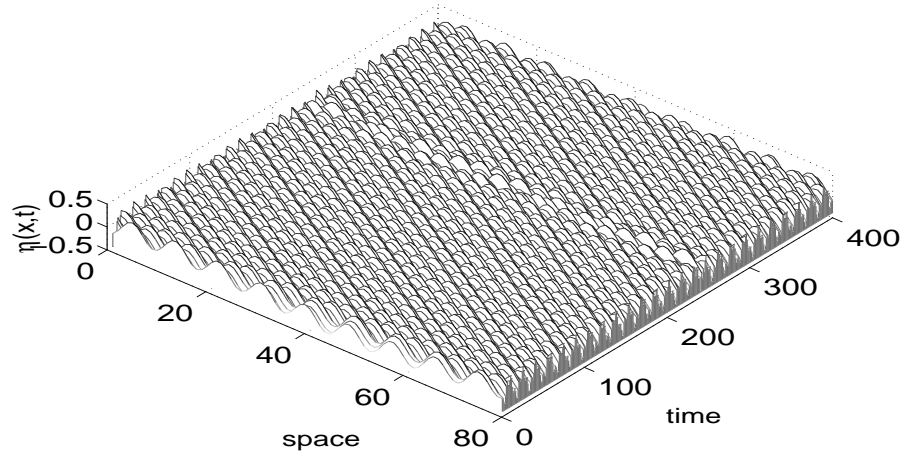


Figure 9: Benzekri *et al.*

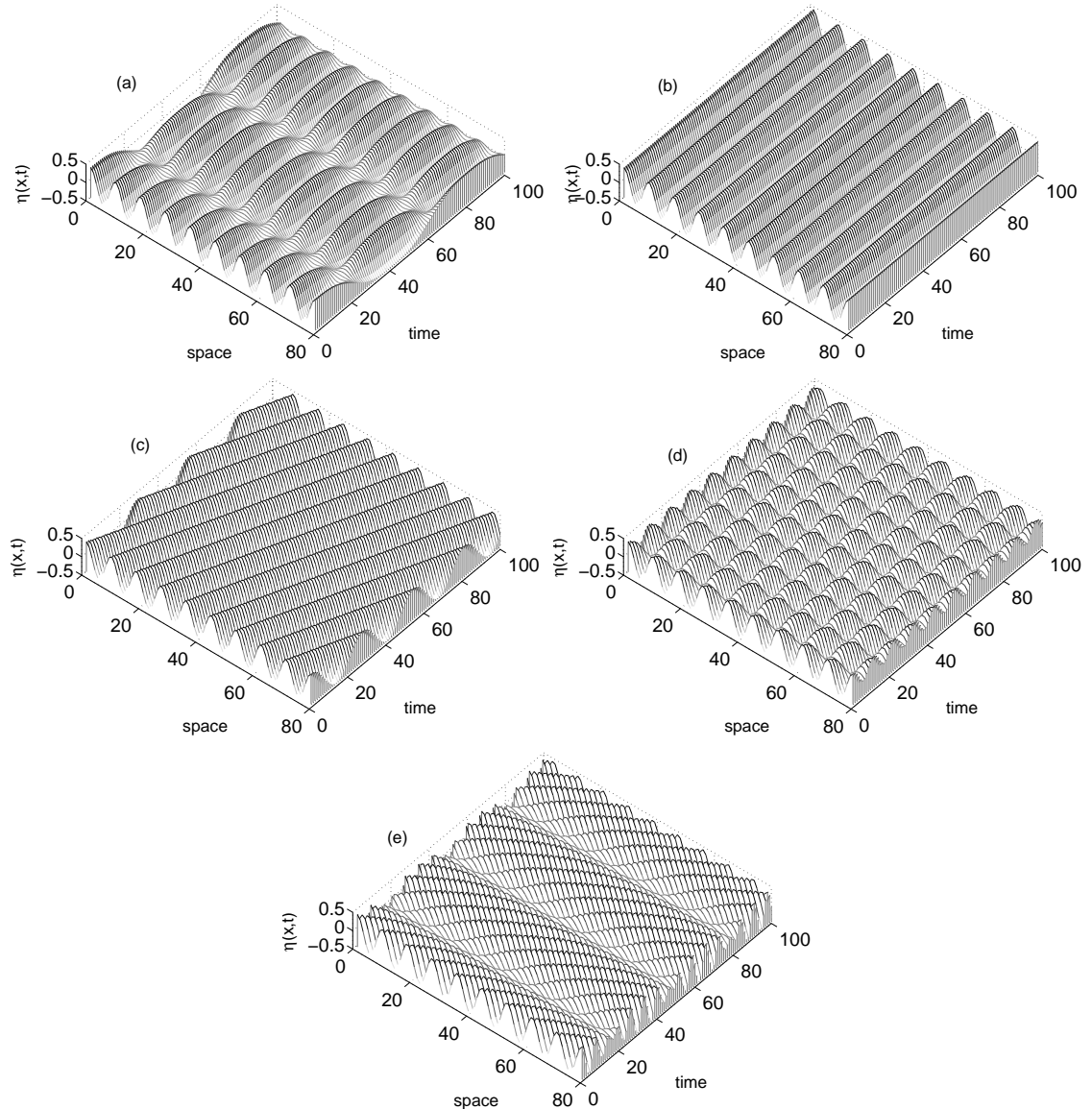


Figure 10: Benzekri *et al.*

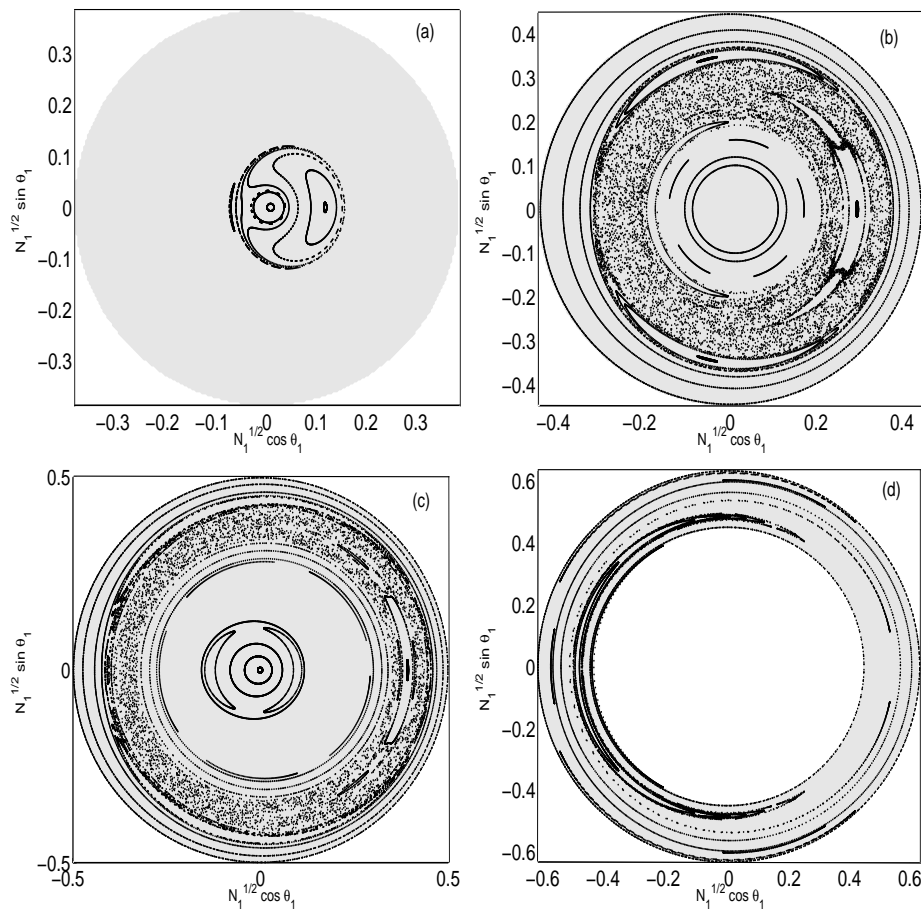


Figure 11: Benzekri *et al.*

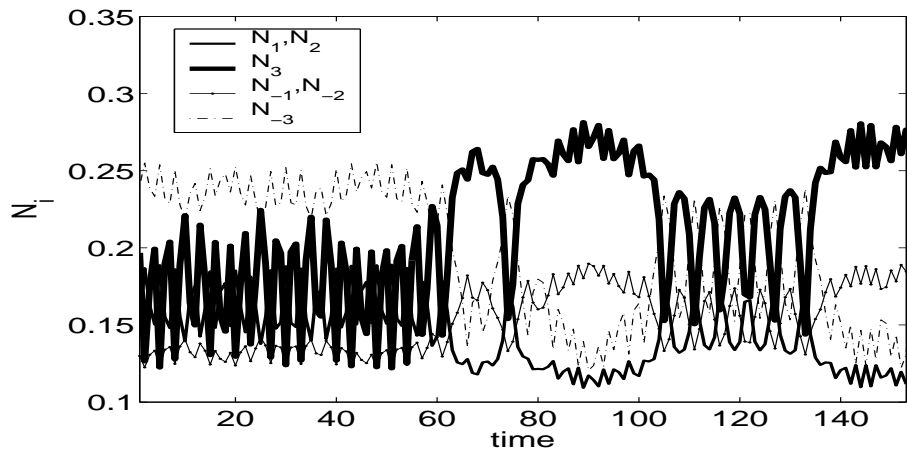


Figure 12: Benzekri *et al.*

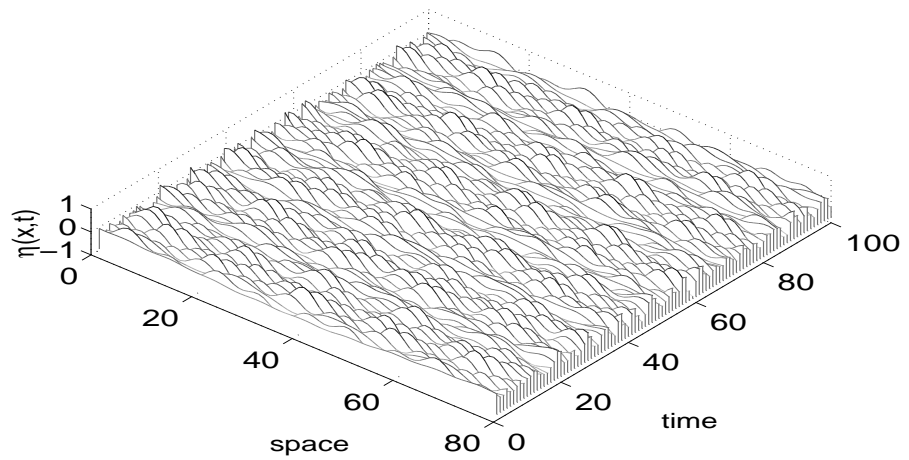


Figure 13: Benzekri *et al.*